

FIG. 1A

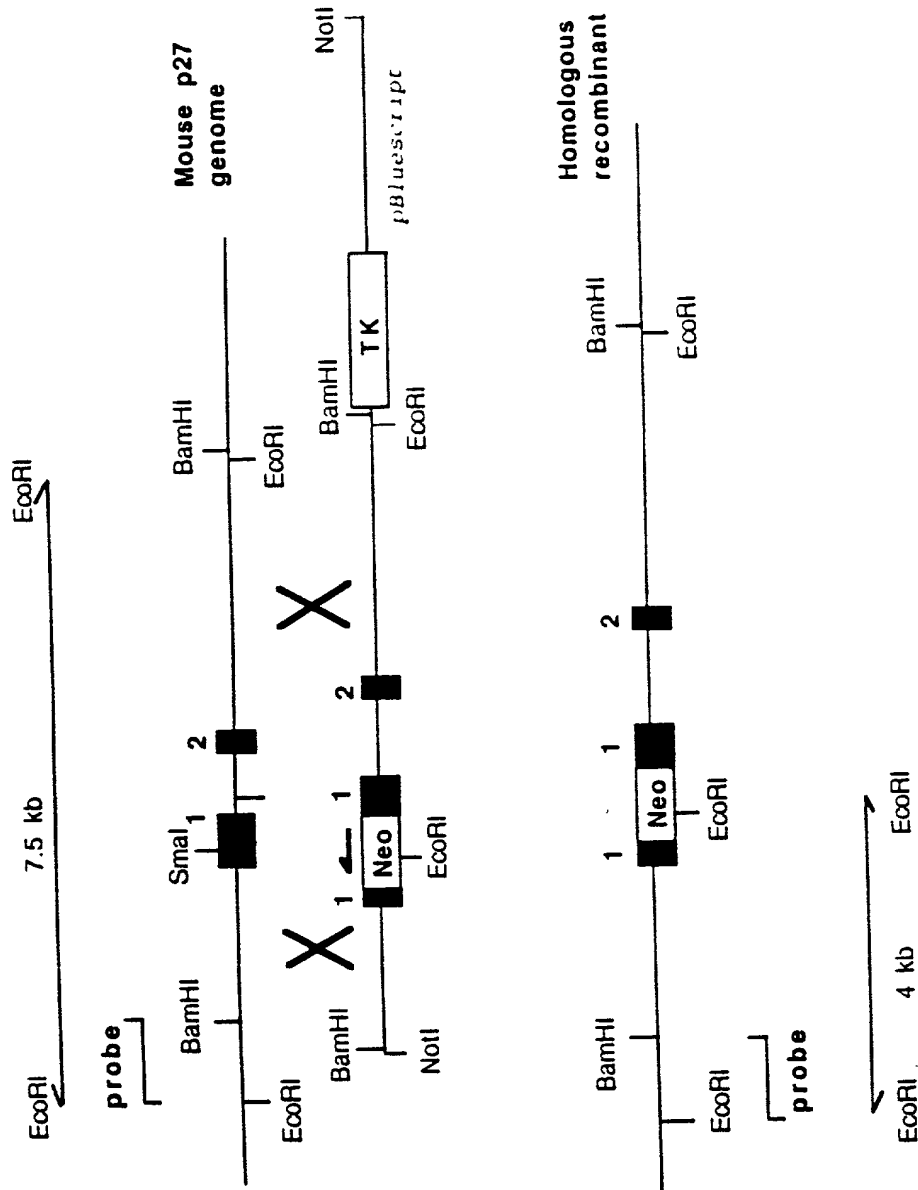


FIG. 1B

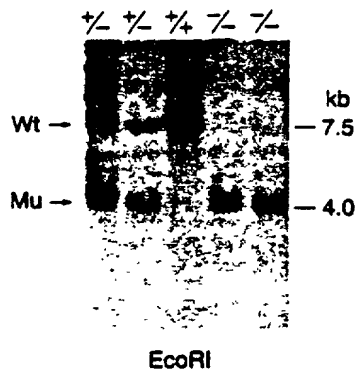


FIG. 1C-1

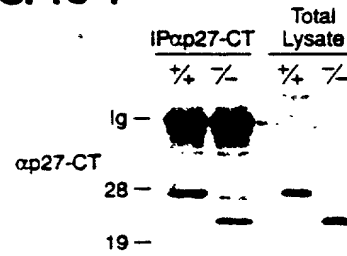


FIG. 1C-2

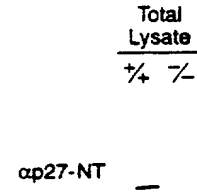


FIG. 1C-3

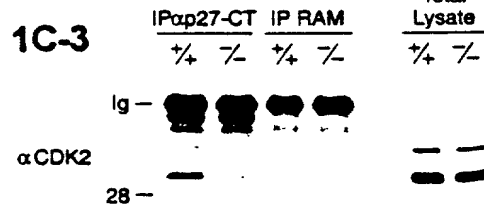


FIG. 1C-4

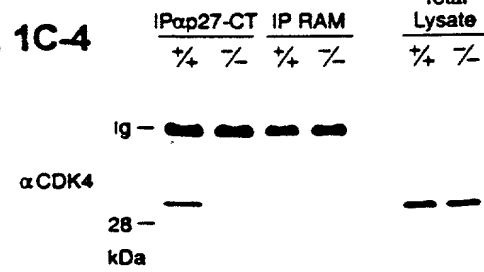


FIG. 1D-1

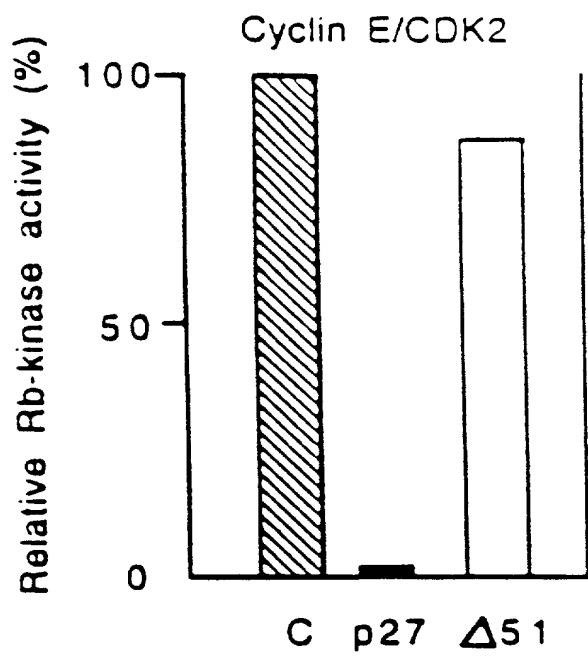


FIG. 1D-2

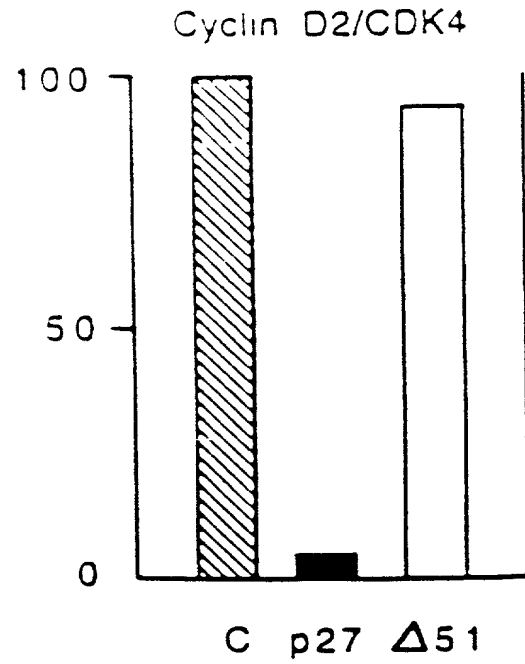


FIG. 2A

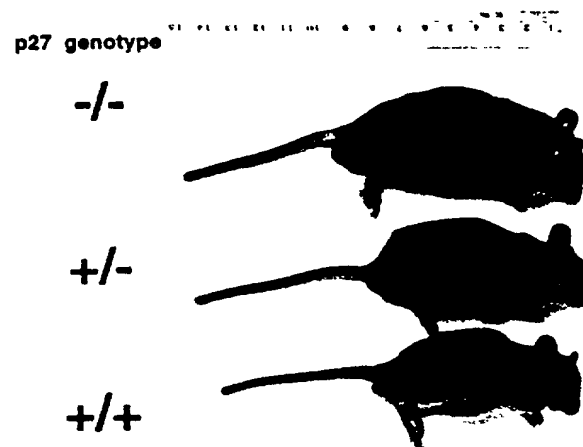
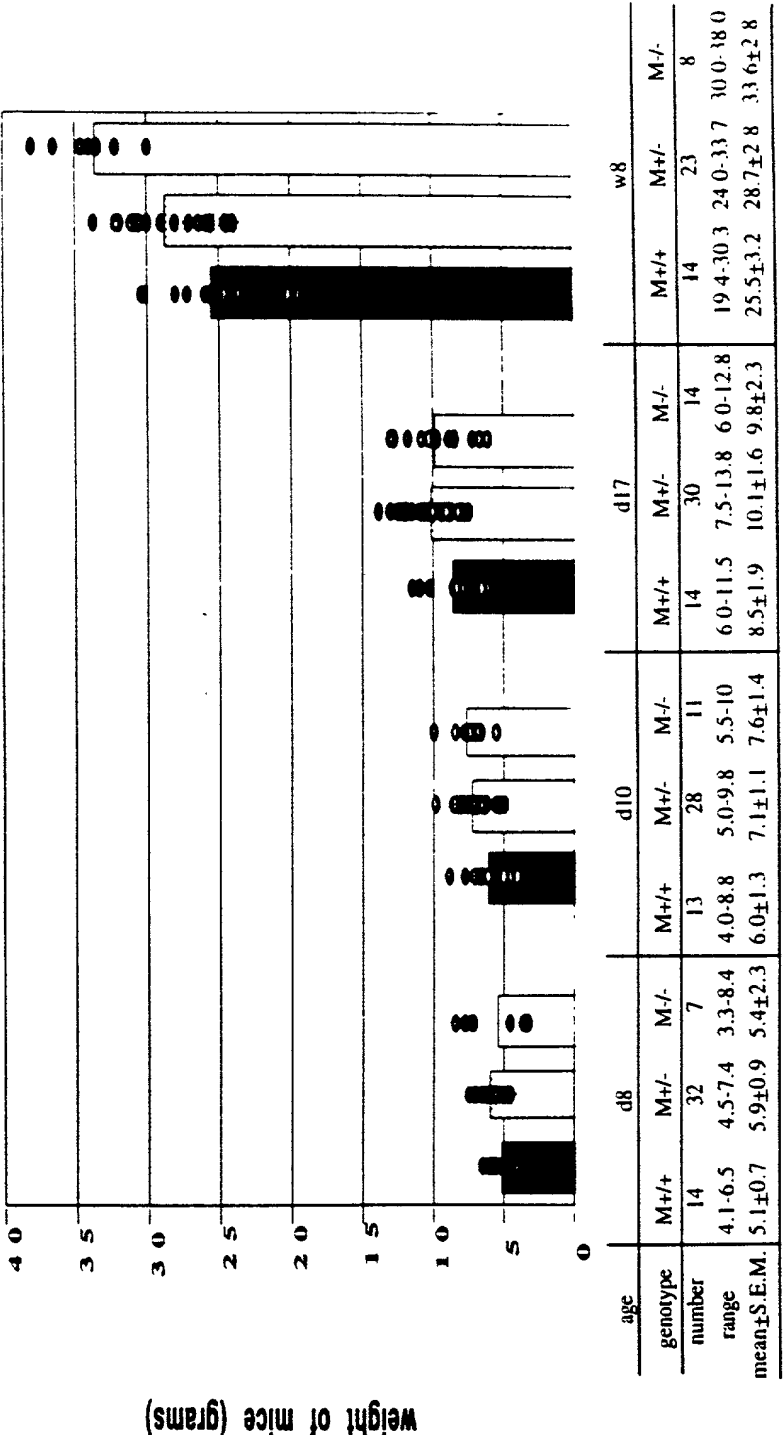
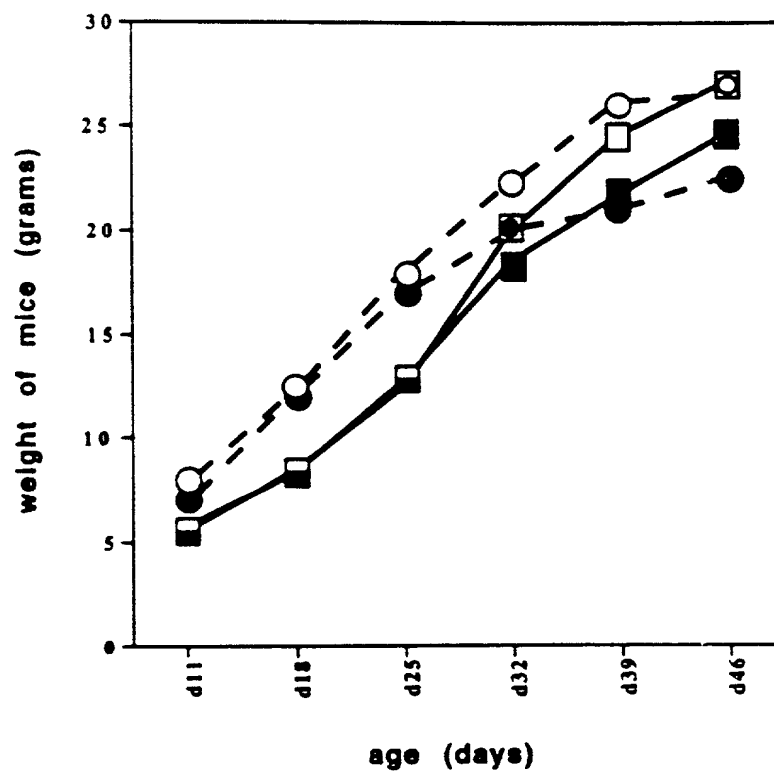


FIG. 2B



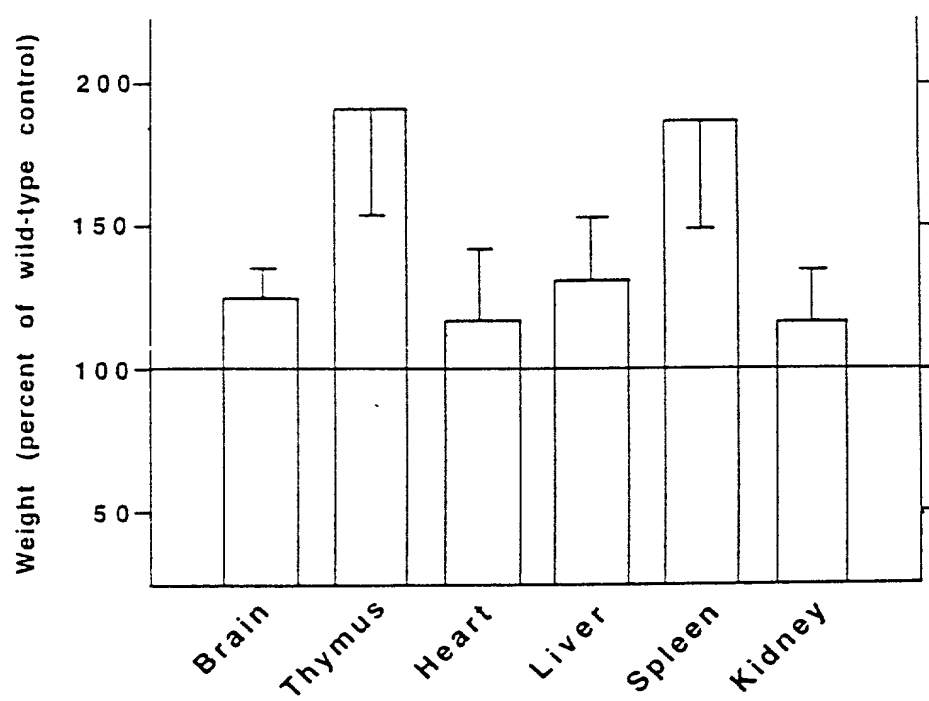
6/15

FIG. 2C



7/15

FIG. 3A



	0.000	0.006	0.012	0.018	0.024	0.030	0.036	0.042	0.048	0.054	0.060	0.066	0.072	0.078	0.084	0.090	0.096	0.102	0.108	0.114	0.120	0.126	0.132	0.138	0.144	0.150	0.156	0.162	0.168	0.174	0.180	0.186	0.192	0.198	0.204	0.210	0.216	0.222	0.228	0.234	0.240	0.246	0.252	0.258	0.264	0.270	0.276	0.282	0.288	0.294	0.300	0.306	0.312	0.318	0.324	0.330	0.336	0.342	0.348	0.354	0.360	0.366	0.372	0.378	0.384	0.390	0.396	0.402	0.408	0.414	0.420	0.426	0.432	0.438	0.444	0.450	0.456	0.462	0.468	0.474	0.480	0.486	0.492	0.498	0.504	0.510	0.516	0.522	0.528	0.534	0.540	0.546	0.552	0.558	0.564	0.570	0.576	0.582	0.588	0.594	0.600	0.606	0.612	0.618	0.624	0.630	0.636	0.642	0.648	0.654	0.660	0.666	0.672	0.678	0.684	0.690	0.696	0.702	0.708	0.714	0.720	0.726	0.732	0.738	0.744	0.750	0.756	0.762	0.768	0.774	0.780	0.786	0.792	0.798	0.804	0.810	0.816	0.822	0.828	0.834	0.840	0.846	0.852	0.858	0.864	0.870	0.876	0.882	0.888	0.894	0.900	0.906	0.912	0.918	0.924	0.930	0.936	0.942	0.948	0.954	0.960	0.966	0.972	0.978	0.984	0.990	0.996	1.000
0.000	0.006	0.012	0.018	0.024	0.030	0.036	0.042	0.048	0.054	0.060	0.066	0.072	0.078	0.084	0.090	0.096	0.102	0.108	0.114	0.120	0.126	0.132	0.138	0.144	0.150	0.156	0.162	0.168	0.174	0.180	0.186	0.192	0.198	0.204	0.210	0.216	0.222	0.228	0.234	0.240	0.246	0.252	0.258	0.264	0.270	0.276	0.282	0.288	0.294	0.300	0.306	0.312	0.318	0.324	0.330	0.336	0.342	0.348	0.354	0.360	0.366	0.372	0.378	0.384	0.390	0.396	0.402	0.408	0.414	0.420	0.426	0.432	0.438	0.444	0.450	0.456	0.462	0.468	0.474	0.480	0.486	0.492	0.498	0.504	0.510	0.516	0.522	0.528	0.534	0.540	0.546	0.552	0.558	0.564	0.570	0.576	0.582	0.588	0.594	0.600	0.606	0.612	0.618	0.624	0.630	0.636	0.642	0.648	0.654	0.660	0.666	0.672	0.678	0.684	0.690	0.696	0.702	0.708	0.714	0.720	0.726	0.732	0.738	0.744	0.750	0.756	0.762	0.768	0.774	0.780	0.786	0.792	0.798	0.804	0.810	0.816	0.822	0.828	0.834	0.840	0.846	0.852	0.858	0.864	0.870	0.876	0.882	0.888	0.894	0.900	0.906	0.912	0.918	0.924	0.930	0.936	0.942	0.948	0.954	0.960	0.966	0.972	0.978	0.984	0.990	0.996	1.000	

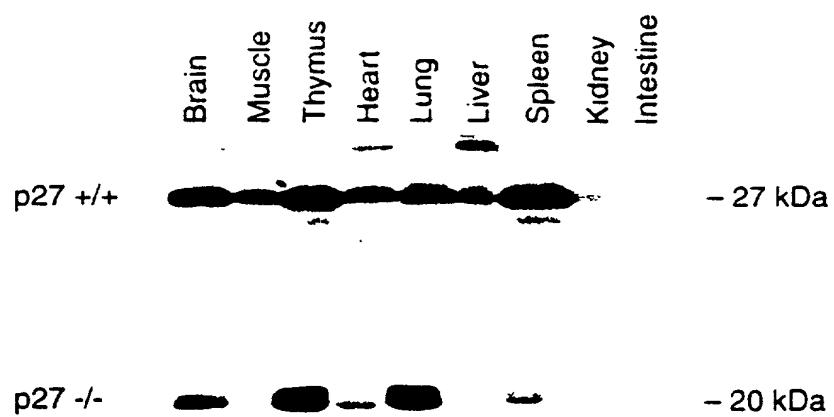


FIG. 4A-1



FIG. 4A-2



FIG. 4A-3



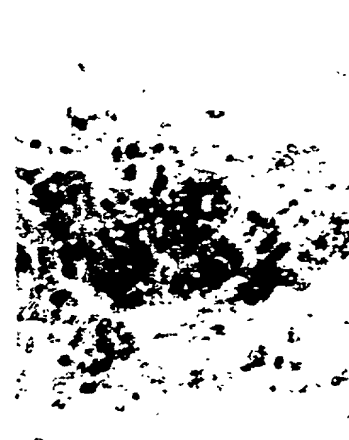
FIG. 4B-1



FIG. 4B-2



FIG. 4B-3



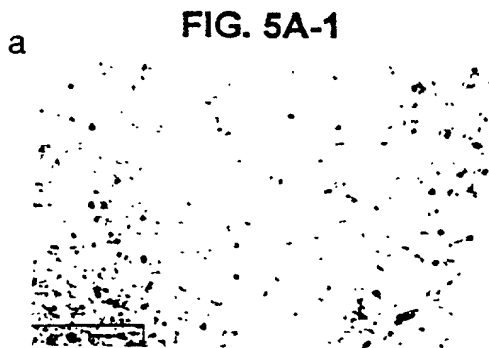


FIG. 5A-1

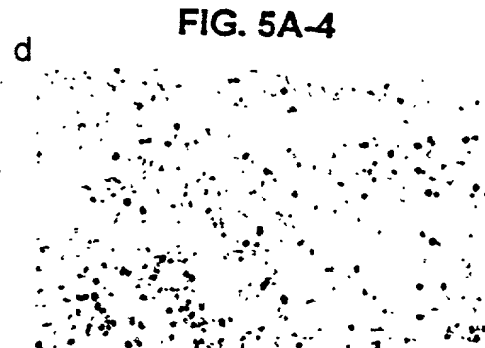


FIG. 5A-4

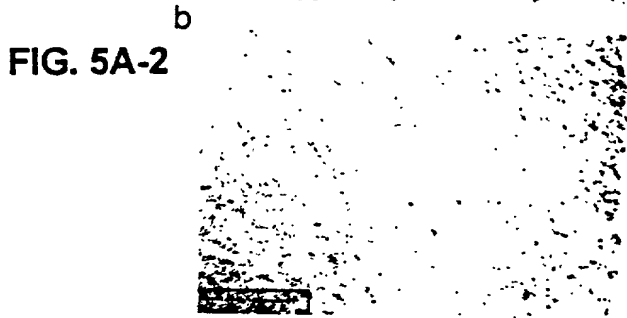


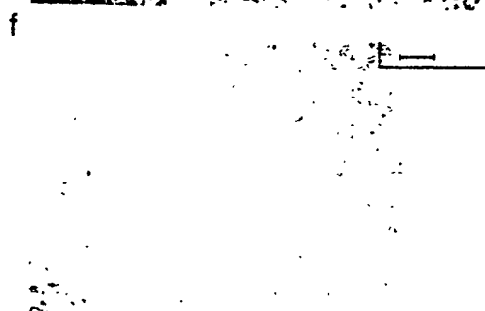
FIG. 5A-2



FIG. 5A-5

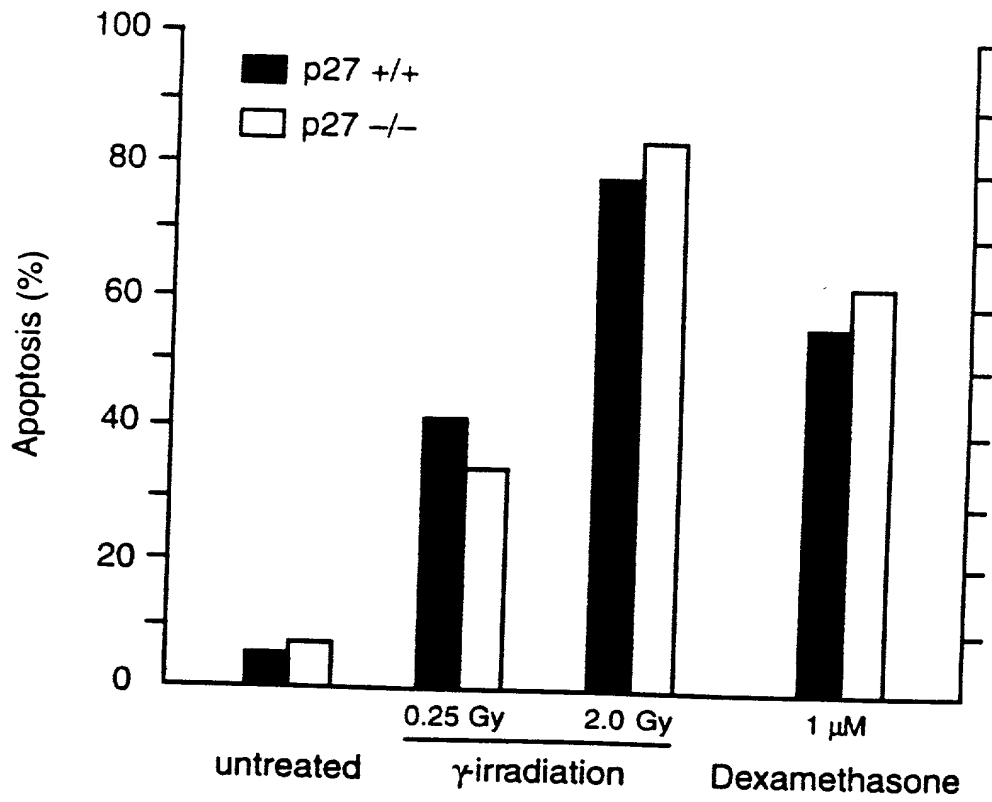


p27 +/+
FIG. 5A-3



p27 -/-
FIG. 5A-6

FIG. 5B



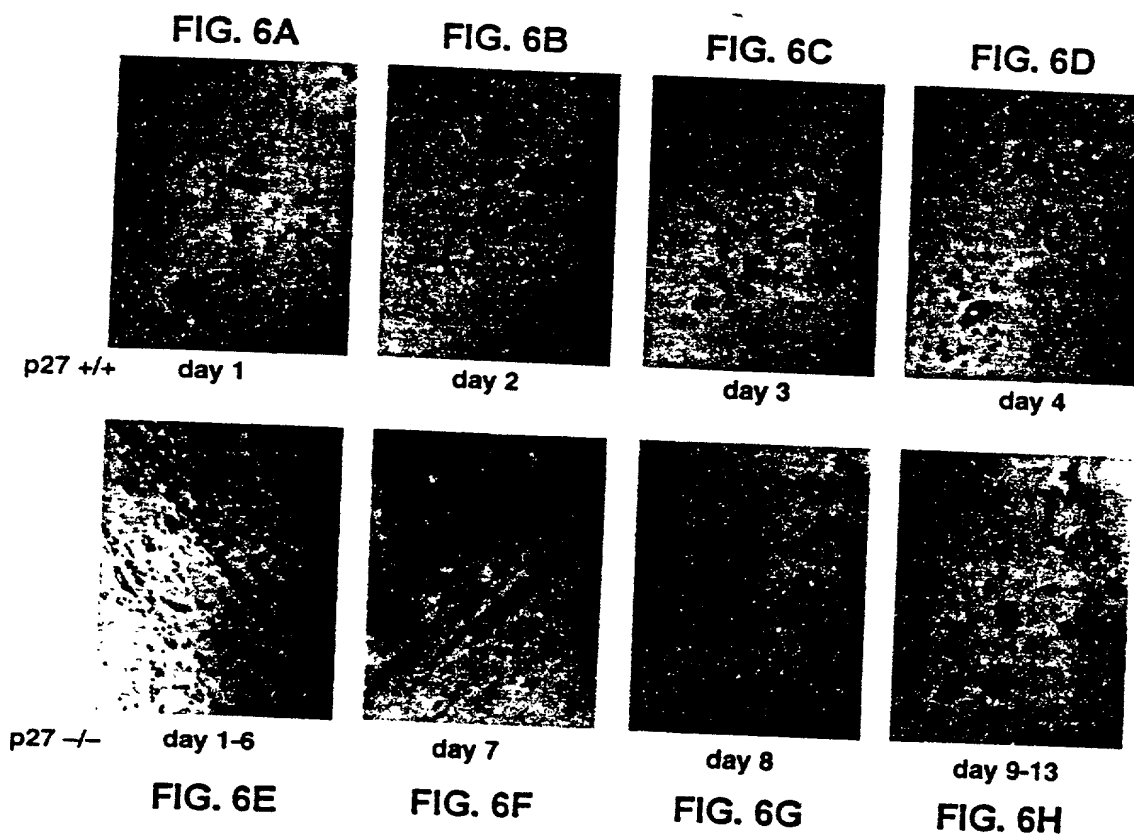
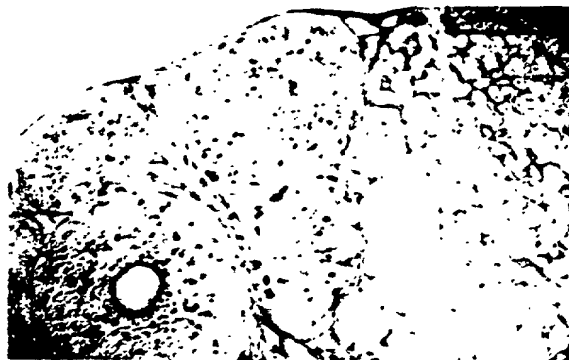


FIG. 7A-1



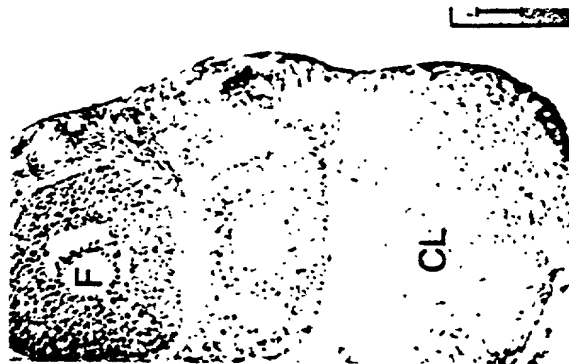
anti-p27

FIG. 7A-2



anti-BrdU

FIG. 7A-3



control

p27 +/+

FIG. 7B-1

a



p27 +/+

FIG. 7B-2

b



d



p27 -/-

FIG. 7B-3

FIG. 7B-4



FIG. 8

